

01:09

Двумерная задача рассеяния электромагнитных волн на проницаемом включении в анизотропном слое

© Н.П. Жук, С.Н. Шульга, А.Г. Яровой

Харьковский государственный университет,
310077 Харьков, Украина

(Поступило в Редакцию 22 мая 1996 г.)

С помощью интегродифференциальных уравнений по сечению рассеивателя и метода коллокации получено численное решение задачи рассеяния H -поляризованной волны на анизотропном диэлектрическом включении в анизотропном слое трехслойной диэлектрической структуры.

1. Теоретическое моделирование взаимодействия гармонических электромагнитных волн с анизотропными объектами представляет интерес во многих физико-технических приложениях, таких как оптика световодов, неразрушающий контроль, дистанционное зондирование. Рассеяние волн на анизотропных телах в безграничной однородной изотропной среде рассматривалось, в частности, в работах [1–4], где рассеиватели моделировались однородным цилиндром с круговой [1] и произвольной [2] формой поперечного сечения, неоднородным цилиндром произвольного сечения [3] и трехмерной неоднородностью произвольной формы [4]. Более сложный случай, когда анизотропная неоднородная среда окружает идеально проводящий или неоднородный проницаемый цилиндр, исследован, к примеру, в работах [5,6]. Большой круг вопросов, связанных с распространением и рассеянием волн в анизотропных волноведущих структурах, изучен в [7]. Настоящая работа обобщает [5,6] на случай, когда неоднородный проницаемый цилиндр погружен в однородный слой трехслойной структуры, причем материалы слоя и включения могут быть анизотропными. Кроме того, ее можно рассматривать как обобщение работ [8,9], где проанализирована двумерная задача рассеяния на изотропном неоднородном рассеивателе в изотропной плоскостной среде.

2. Геометрия задачи показана на рис. 1. Однородный анизотропный слой толщиной h характеризуется тензором диэлектрической проницаемости

$$\hat{\epsilon}_s = \begin{pmatrix} \epsilon_{xx}^{(s)} & 0 & 0 \\ 0 & \epsilon_{yy}^{(s)} & \epsilon_{yz}^{(s)} \\ 0 & \epsilon_{zy}^{(s)} & \epsilon_{zz}^{(s)} \end{pmatrix} \quad (1)$$

с постоянными элементами $\epsilon_{xx}^{(s)}, \dots, \epsilon_{zz}^{(s)}$. Слой располагается на однородной изотропной подложке с диэлектрической проницаемостью ϵ_c и граничит сверху со свободным пространством. Область S представляет собой поперечное сечение неоднородного анизотропного включения цилиндрической формы, которое находится целиком в пределах слоя и ориентировано вдоль оси Ox . Распределение диэлектрической проницаемости внутри включения характеризуется тензором $\hat{\epsilon}_p$ вида

(1), элементы которого $\epsilon_{xx}^{(p)}, \dots, \epsilon_{zz}^{(p)}$ могут зависеть от $\mathbf{r} = (0, y, z)$. Рассматриваемые тензоры диэлектрической проницаемости описывают, например, одноосные кристаллы с наклонной оптической осью, лежащей в плоскости yOz , или же холодную электронную плазму в статическом внешнем магнитном поле, направленном вдоль оси Ox . Магнитная проницаемость считается всюду равной 1.

В целях упрощения задачи положим, что первичное электромагнитное поле $\mathbf{E}^{in}, \mathbf{H}^{in}$, которое создается гармоническими ($\sim e^{-i\omega t}$) сторонними источниками в отсутствие включения, не зависит от x . Тогда названное поле, равно как и поле \mathbf{E}, \mathbf{H} , которое возникает в присутствии включения, распадается на E - и H -поляризованные составляющие, которые распространяются независимо друг от друга. Из уравнений Максвелла следует, что распространение и рассеяние E -поляризованной составляющей происходит так же, как и в изотропной структуре с диэлектрической проницаемостью, даваемой xx -элементами тензоров $\hat{\epsilon}_s, \hat{\epsilon}_p$. Такая задача рассматривалась ранее, к примеру, в работах [8,9]. Поэтому мы сосредоточим внимание на более сложном случае H -поляризации, где эффекты анизотропии в слое и включении носят выраженный характер.

3. Из уравнений Максвелла вытекает, что в рассматриваемом случае H -поляризации ненулевые компонен-

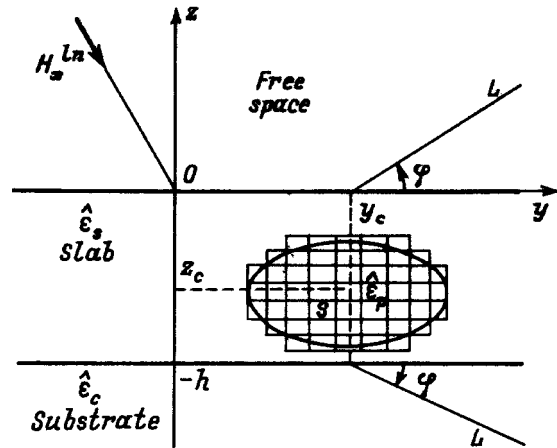


Рис. 1.

ты электрического поля E_y, E_z можно выразить через единственную отличную от нуля компоненту магнитного поля H_x . Когда точка наблюдения \mathbf{r} находится в свободном пространстве, имеем

$$E_y = -\frac{1}{ik_0} \frac{\partial H_x}{\partial z}, \quad E_z = \frac{1}{ik_0} \frac{\partial H_x}{\partial y}, \quad (2)$$

а для области в пределах анизотропного полупространства, но вне включения, соответствующие формулы таковы:

$$E_y = -\frac{1}{ik_0 a} \left(\varepsilon_{yz} \frac{\partial H_x}{\partial y} + \varepsilon_{zz} \frac{\partial H_x}{\partial z} \right),$$

$$E_z = \frac{1}{ik_0 a} \left(\varepsilon_{yy} \frac{\partial H_x}{\partial y} + \varepsilon_{zy} \frac{\partial H_x}{\partial z} \right). \quad (3)$$

Сходные представления для подложки формально получаются из (2) после деления правой части на ε_c , а для точек внутри включения — заменой индекса s на p в правой части (3). Здесь $k_0 = \omega/c$ и c — волновое число и скорость света в вакууме,

$$a_s = \varepsilon_{yy}^{(s)} \varepsilon_{zz}^{(s)} - \varepsilon_{yz}^{(s)} \varepsilon_{zy}^{(s)}, \quad a_p = \varepsilon_{yy}^{(p)} \varepsilon_{zz}^{(p)} - \varepsilon_{yz}^{(p)} \varepsilon_{zy}^{(p)}. \quad (4)$$

Заметим, что в (2), (3) для упрощения записи опущены члены, содержащие сторонние источники поля. Их отсутствие строго оправдано, когда источники поля отнесены в бесконечность, что мы далее предполагаем в целях большей определенности.

Уравнения Максвелла после исключения E_y, E_z доставляют уравнения относительно основной неизвестной функции H_x . В свободном пространстве и подложке они принимают соответственно следующий вид:

$$(\nabla_{\perp}^2 + k_0^2) H_x = 0, \quad (\nabla_{\perp}^2 + k_c^2) H_x = 0, \quad (5), (6)$$

где ∇_{\perp} — оператор набла в плоскости yOz , $k_c = k_0 \sqrt{\varepsilon_c}$ — волновое число в материале подложки.

Что же касается уравнения для H_x в области $-h < z < 0$, то мы выпишем его с учетом того, что поле в пределах названной области в присутствии включения тождественно полю в отсутствие включения, которое возбудили бы электрические токи с объемной плотностью

$$\mathbf{J}_p - (ik_0 c / 4\pi) [\hat{\varepsilon}_p - \hat{\varepsilon}_s] \mathbf{E}, \quad (7)$$

распределенные в пределах S [10]. Здесь \mathbf{E} — (неизвестное) электрическое поле внутри включения. Результирующие уравнения относительно H_x при $-h < z < 0$ принимают единообразный вид

$$\left[\varepsilon_{yy}^{(s)} \frac{\partial^2}{\partial y^2} + \varepsilon_{zz}^{(s)} \frac{\partial^2}{\partial z^2} + \left(\varepsilon_{yz}^{(s)} + \varepsilon_{zy}^{(s)} \right) \frac{\partial^2}{\partial y \partial z} + k_0^2 a_s \right] H_x = a_s q \quad (8)$$

для точек, расположенных как вне, так и внутри включения. Величина

$$q = \frac{4\pi}{ca_s} \left[\left(\varepsilon_{zy}^{(s)} \frac{\partial}{\partial y} + \varepsilon_{zz}^{(s)} \frac{\partial}{\partial z} \right) J_{py} - \left(\varepsilon_{yy}^{(s)} \frac{\partial}{\partial y} + \varepsilon_{yz}^{(s)} \frac{\partial}{\partial z} \right) J_{pz} \right] \quad (9)$$

имеет смысл вторичных источников, ”наведенных” первичным полем во включении, а J_{py}, J_{pz} принимают нулевые значения вне области S и равны

$$J_{py} = -\frac{ik_0 c}{4\pi} (\eta_{yy} E_y + \eta_{yz} E_z),$$

$$J_{pz} = -\frac{ik_0 c}{4\pi} (\eta_{zy} E_y + \eta_{zz} E_z) \quad (10)$$

в пределах S . Здесь функции $\eta_{jk} \equiv \varepsilon_{jk}^{(p)} - \varepsilon_{jk}^{(s)}$ определяют электрический контраст включения по отношению к окружающей среде ($j, k = y, z$). Вдобавок к сформулированным уравнениям функция H_x должна подчиняться условию непрерывности на границах слоя $z = 0, -h$ и обеспечивать там непрерывность величин E_y, E_z .

4. Введем в рассмотрение решение $G(\mathbf{r}, \mathbf{r}')$ краевой задачи для $H_x(\mathbf{r})$ из предыдущего раздела, которое отвечает точечному источнику $q(\mathbf{r}) = \delta(\mathbf{r} - \mathbf{r}')$, расположенному внутри слоя ($-h < z' < 0$), и удовлетворяет условиям излучения в бесконечности ($|\mathbf{r} - \mathbf{r}'| \rightarrow +\infty$). Это решение — функция Грина — может быть найдено путем применения к названной задаче преобразования Фурье по $y - y'$ и решения возникающей краевой задачи с независимой переменной z с помощью стандартной техники [11]. Итоговые выражения для $G(\mathbf{r}, \mathbf{r}')$ вынесены в Приложение.

Располагая функцией Грина, мы можем обратить краевую задачу для H_x и заменить ее интегральным соотношением

$$H_x(\mathbf{r}) = H_x^{in}(\mathbf{r}) + \int G(\mathbf{r}, \mathbf{r}') q(\mathbf{r}') d\mathbf{r}', \quad (11)$$

где интегрирование ведется по всей плоскости yOz .

Приняв во внимание определение (9) величины q и проинтегрировав в (11) по частям, получим

$$H_x(\mathbf{r}) = H_x^{in}(\mathbf{r}) + ik_0 F[E_y, E_z](\mathbf{r}). \quad (12)$$

В этом соотношении \mathbf{r} — произвольная точка в плоскости yOz ,

$$F[E_y, E_z](\mathbf{r}) = \int_S d\mathbf{r}' \left[L_y(\mathbf{r}, \mathbf{r}') E_y(\mathbf{r}') + L_z(\mathbf{r}, \mathbf{r}') E_z(\mathbf{r}') \right], \quad (13)$$

$$a_s L_y(\mathbf{r}, \mathbf{r}') = \left[\varepsilon_{zy}^{(s)} \varepsilon_{yy}^{(p)}(\mathbf{r}') - \varepsilon_{yy}^{(s)} \varepsilon_{zy}^{(p)}(\mathbf{r}') \right] \partial G(\mathbf{r}, \mathbf{r}') / \partial y' + \left[\varepsilon_{zz}^{(s)} \eta_{yy}(\mathbf{r}') - \varepsilon_{yz}^{(s)} \eta_{zy}(\mathbf{r}') \right] \partial G(\mathbf{r}, \mathbf{r}') / \partial z', \quad (14)$$

$$a_s L_z(\mathbf{r}, \mathbf{r}') = \left[\varepsilon_{zz}^{(s)} \varepsilon_{yz}^{(p)}(\mathbf{r}') - \varepsilon_{yz}^{(s)} \varepsilon_{zz}^{(p)}(\mathbf{r}') \right] \partial G(\mathbf{r}, \mathbf{r}') / \partial z' + \left[\varepsilon_{zy}^{(s)} \eta_{yz}(\mathbf{r}') - \varepsilon_{yy}^{(s)} \eta_{zz}(\mathbf{r}') \right] \partial G(\mathbf{r}, \mathbf{r}') / \partial y'. \quad (15)$$

Подставим выражение (12) для H_x в прямые формулы для E_y, E_z , считая, что точка \mathbf{r} принадлежит области S .

В результате мы приходим к системе двух связанных интегродифференциальных уравнений

$$E_y(\mathbf{r}) = -\frac{1}{a_p(\mathbf{r})} \left[\varepsilon_{yz}^{(p)}(\mathbf{r}) \frac{\partial}{\partial y} + \varepsilon_{zz}^{(p)}(\mathbf{r}) \frac{\partial}{\partial z} \right] \times \left[H_x^{in}(\mathbf{r}) / ik_0 + F(\mathbf{r}) \right], \quad (16)$$

$$E_z(\mathbf{r}) = \frac{1}{a_p(\mathbf{r})} \left[\varepsilon_{yy}^{(p)}(\mathbf{r}) \frac{\partial}{\partial y} + \varepsilon_{zy}^{(p)}(\mathbf{r}) \frac{\partial}{\partial z} \right] \times \left[H_x^{in}(\mathbf{r}) / ik_0 + F(\mathbf{r}) \right], \quad (17)$$

($\mathbf{r} \in S$) для электрического поля внутри включения. Если решение этих уравнений известно, то формулы (12), (13) позволяют найти функцию H_x в любой точке плоскости yOz , а соответствующие прямые формулы для E_y, E_z — рассчитать эти величины всюду вне включения. Обрисованная последовательность действий положена в основу алгоритма рассматриваемой задачи рассеяния.

5. При отыскании численного решения уравнений (16), (17) мы вначале с помощью прямоугольной сетки, приведенной на рис. 1, аппроксимируем поперечное сечение включения ступенчатой фигурой, которая состоит из одинаковых ячеек размером $\Delta y \times \Delta z$. Затем приближенно полагается, что в пределах каждой ячейки неизвестные величины E_y, E_z постоянны, а распределение диэлектрической проницаемости однородно. Взяв интегродифференциальные уравнения (16), (17) в центре каждой ячейки, мы в итоге приходим к системе линейных алгебраических уравнений вида

$$E_{ym} = \sum_{n=1}^M \left(K_{mn}^{yy} E_{yn} + K_{mn}^{yz} E_{zn} \right) + Q_m^y, \quad (18)$$

$$E_{zm} = \sum_{n=1}^M \left(K_{mn}^{zy} E_{yn} + K_{mn}^{zz} E_{zn} \right) + Q_m^z \quad (19)$$

($m = 1, 2, \dots, M$). Здесь E_{ym} и E_{zm} — неизвестные значения величин E_y и E_z в m -й ячейке; M — общее число ячеек, аппроксимирующих S . Явный вид коэффициентов $K_{mn}^{yy}, \dots, K_{mn}^{zz}$ и правых частей Q_m^y, Q_m^z легко определяется из соотношений (16), (17). К примеру,

$$K_{mn}^{yy} = -\frac{1}{a_p(\mathbf{r}_m)} \left[\varepsilon_{yz}^{(p)}(\mathbf{r}) \frac{\partial}{\partial y} + \varepsilon_{zz}^{(p)}(\mathbf{r}) \frac{\partial}{\partial z} \right] \Big|_{\mathbf{r}=\mathbf{r}_m} \times \int_{S_n} d\mathbf{r}' L_y(\mathbf{r}, \mathbf{r}'), \quad (20)$$

$$Q_m^y = -\frac{1}{ik_0 a_p(\mathbf{r}_m)} \left[\varepsilon_{yz}^{(p)}(\mathbf{r}) \frac{\partial}{\partial y} + \varepsilon_{zz}^{(p)}(\mathbf{r}) \frac{\partial}{\partial z} \right] \times H_x^{in}(\mathbf{r}) \Big|_{\mathbf{r}=\mathbf{r}_m}, \quad (21)$$

где S_n — внутренность n -й ячейки, \mathbf{r}_m — центральная точка ячейки с номером m .

Вычисление коэффициентов K_{mn}^{jk} ($j, k = y, z$) производится так. Пользуясь надлежащим выражением для функции Грина, приведенным в Приложении, величины L_y, L_z из (14), (15), а затем и сами коэффициенты K_{mn}^{jk} можно представить в виде суммы двух слагаемых (например, $K_{mn}^{jk} = K_{mn}^{jk(0)} + K_{mn}^{jk(r)}$), первое из которых характеризует задачу рассеяния на включения в безграничной среде с параметрами анизотропного слоя, а второе учитывает конечность толщины слоя. Численный расчет величин $K_{mn}^{jk(0)}$, сводящийся к вычислению линейных интегралов по контуру ячейки, описан в работах [9,12]. Что же касается величин $K_{mn}^{jk(r)}$, то встречающиеся при их вычислении интегралы по \mathbf{r}' в пределах n -й ячейки можно просто заменить произведением подынтегрального выражения, взятого в центре $\mathbf{r}' = \mathbf{r}_n$ ячейки, на площадь $\Delta y \Delta z$ этой ячейки. Наконец, интегралы типа Зоммерфельда, которые возникают в выражениях для $K_{mn}^{jk(r)}$ из-за наличия интеграла Фурье в правой части формулы (П2)

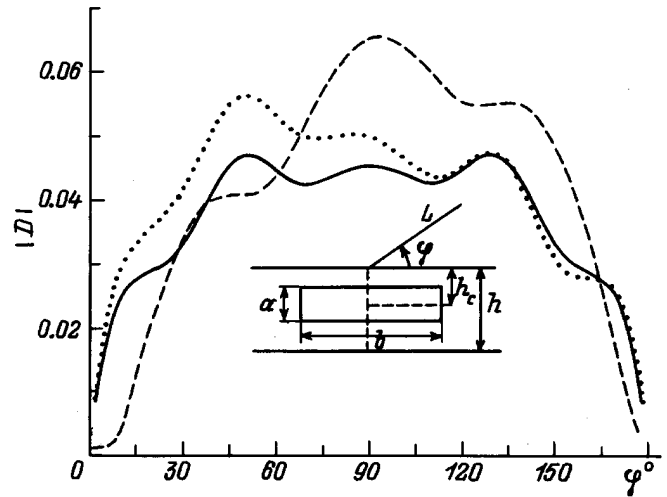


Рис. 2.

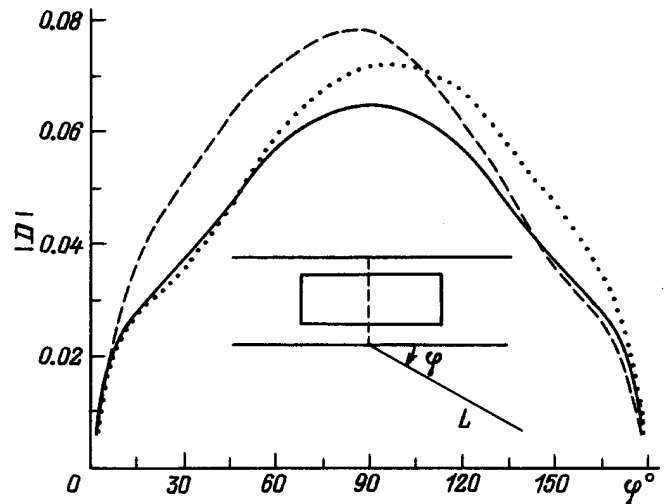


Рис. 3.

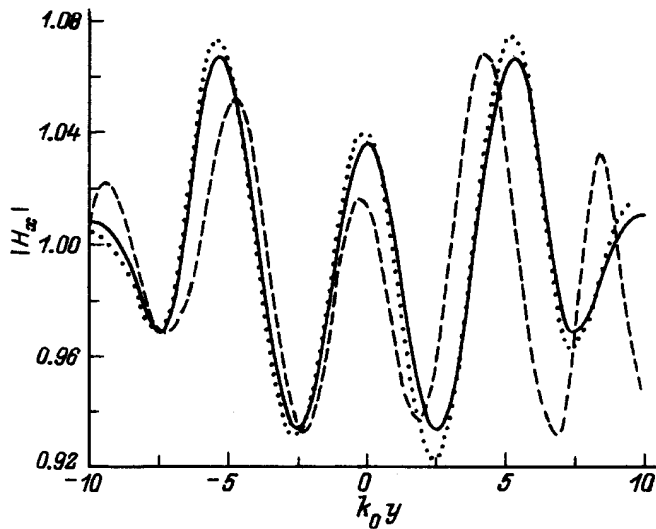


Рис. 4.

для добавки за счет отражений $G^{(r)}$, вычисляются путем смещения первоначального контура интегрирования с вещественной оси в комплексную плоскость z . Детали численной реализации этого приема описаны в [9].

Система линейных алгебраических уравнений (18), (19) в рассмотренных ниже примерах решалась численно методом Гауса.

6. На рис. 2–4 проиллюстрировано численное решение задачи рассеянной плоской H -поляризованной волны единичной амплитуды $A^in = 1$, которая падает из верхнего полупространства нормально к слою. Слой электрической толщиной $k_0 h = 2.0$ находится в вакууме (т.е. $\epsilon_c = 1.0$). Прямоугольное включение (оно показано на вставке к рис. 2) имеет размеры $k_0 a = 0.4$, $k_0 b = 0.8$, а его центр симметрии расположен на расстоянии $k_0 h_c = 2.0$ от верхней границы слоя. При численных расчетах включение разбивалось на 72 ячейки (12 разбиений по горизонтали, 6 — по вертикали). На этих рисунках сплошная линия относится к базовой модели изотропного слоя и изотропного включения с диэлектрической проницаемостью $\epsilon_c = 2.0$, $\epsilon_p = 4.0$ соответственно. Штриховая линия отвечает случаю, который отличается от предыдущего тем, что материал слоя — одноосный диэлектрик. Главные значения диэлектрической проницаемости этого диэлектрика (т.е. значения вдоль оптической оси и в поперечном направлении) равны $\epsilon_{||} = 3.0$, $\epsilon_{\perp} = 2.0$, а оптическая ось, лежащая в плоскости yOz , отклонена вниз на угол $\varphi_0 = 30^\circ$ относительно направления оси Oy . Интересующие нас элементы тензора диэлектрической проницаемости слоя $\hat{\epsilon}_s$ принимают следующие значения:

$$\epsilon_{yy}^{(s)} = \epsilon_{||}^{(s)} \cos^2 \varphi_0 + \epsilon_{\perp}^{(s)} \sin^2 \varphi_0 = 2.25,$$

$$\epsilon_{zz}^{(s)} = \epsilon_{||}^{(s)} \sin^2 \varphi_0 + \epsilon_{\perp}^{(s)} \cos^2 \varphi_0 = 2.75,$$

$$\epsilon_{yz}^{(s)} = \epsilon_{zy}^{(s)} = (\epsilon_{\perp}^{(s)} - \epsilon_{||}^{(s)}) \sin \varphi_0 \cos \varphi_0 = -0.43. \quad (22)$$

Пунктир характеризует дополнительный случай, когда материал слоя — изотропный диэлектрик с проницаемостью $\epsilon_s = 2.0$, а включение — одноосный диэлектрик, главные значения проницаемости которого равны $\epsilon_{||}^{(p)} = 5.0$, $\epsilon_{\perp}^{(p)} = 4.0$, а оптическая ось лежит в плоскости yOz и наклонена вниз под углом $\varphi_0 = 30^\circ$ относительно оси Oy . Элементы тензора диэлектрической проницаемости $\hat{\epsilon}_p$ вычисляются по формулам, аналогичным (22), и оказываются равными

$$\epsilon_{yy}^{(p)} = 4.25, \quad \epsilon_{zz}^{(p)} = 4.75, \quad \epsilon_{yz}^{(p)} = \epsilon_{zy}^{(p)} = -0.43. \quad (23)$$

На рис. 2, 3 представлено угловое распределение поля, рассеянное в верхнее полупространство (рис. 2). Это распределение характеризуется величиной $D(\varphi)$, определенной асимптотической формулой для x -компоненты рассеянного магнитного поля в дальней зоне вне слоя

$$H_x^{sc}(\mathbf{r}) = A^in D(\varphi) \frac{e^{ik_0 L}}{\sqrt{L}} \quad (24)$$

($k_0 L \gg 1$). Полярные координаты L, φ для точки наблюдения в верхнем или нижнем полупространстве определены на рис. 1. При этом точка y_c, z_c в рассматриваемом случае прямоугольного включения совпадает с центром симметрии последнего. Рис. 2, 3 отчетливо демонстрируют влияние анизотропии в слое или включении на формирование рассеянного поля.

На рис. 4 показано распределение полного поля $|H_x|$ на верхней границе слоя. Рисунок, как и следовало ожидать, симметричен относительно точки $y = 0$ в случае изотропных включения и слоя, так как плоская волна падает нормально к слою. Осциллирующий характер приведенных зависимостей отражает значительную роль интерференционных явлений при формировании рассеянного и полного полей. По мере удаления от включения вдоль поверхности слоя эти осцилляции сглаживаются, и величина $|H_x|$ выходит на постоянное значение $|H_x^in|$.

Приложение

Если точка наблюдения находится в слое ($-h < z < 0$), то $G(\mathbf{r}, \mathbf{r}')$ представляется в виде суммы $G = G^{(0)} + G^{(r)}$ функции Грина $G^{(0)}(\mathbf{r}, \mathbf{r}')$ для безграничной среды с диэлектрической проницаемостью слоя, и добавки $G^{(r)}(\mathbf{r}, \mathbf{r}')$, которая учитывает отражение от границ $z = 0, -h$. При этом

$$G^{(0)}(\mathbf{r}, \mathbf{r}') = \frac{a_s}{4i\sqrt{\nu}} H_0^{(1)}(k_0 s), \quad (П1)$$

$$G^{(r)}(\mathbf{r}, \mathbf{r}') = \frac{a_s}{2\pi i \epsilon_{zz}^{(s)}} \int_{-\infty}^{+\infty} \frac{dz}{(\gamma_+ - \gamma_-) P} e^{iz(y-y')} \times \left[\exp(i\gamma_+ z) AR + \exp(i\gamma_- z) BQ \right], \quad (П2)$$

где $H_0^{(1)}$ — функция Ханкеля первого рода,

$$\nu = \epsilon_{yy}^{(s)} \epsilon_{zz}^{(s)} - (1/4) (\epsilon_{yz}^{(s)} + \epsilon_{zy}^{(s)})^2, \quad (П3)$$

$$s^2 = (a_s/\nu) \left[\varepsilon_{yy}^{(s)} (z - z')^2 + \varepsilon_{zz}^{(s)} (y - y')^2 - \left(\varepsilon_{yz}^{(s)} + \varepsilon_{zy}^{(s)} \right) (y - y') (z - z') \right], \quad (\text{П4})$$

$$\gamma_{\pm} = -\varkappa \frac{\varepsilon_{yz}^{(s)} + \varepsilon_{zy}^{(s)}}{2\varepsilon_{zz}^{(s)}} \pm \left[\frac{k_0^2 a_s - \varkappa^2 \varepsilon_{yy}^{(s)}}{\varepsilon_{zz}^{(s)}} + \varkappa^2 \left(\frac{\varepsilon_{yz}^{(s)} + \varepsilon_{zy}^{(s)}}{2\varepsilon_{zz}^{(s)}} \right)^2 \right]^{1/2}. \quad (\text{П5})$$

$$A = e^{i(\gamma_+ - \gamma_-)h} \left[e^{-i\gamma_- z'} + Q e^{-i\gamma_+ z'} \right], \quad (\text{П6})$$

$$B = e^{-i\gamma_+ z'} + \text{Re}^{i(\gamma_+ - \gamma_-)h - i\gamma_- z'}, \quad (\text{П7})$$

$$P = 1 - QR \exp[i(\gamma_+ - \gamma_-)h], \quad (\text{П8})$$

$$Q = -\frac{\varepsilon_{zz}^{(s)} \gamma_+ + \varepsilon_{yz}^{(s)} \varkappa - \gamma_0 a_s}{\varepsilon_{zz}^{(s)} \gamma_- + \varepsilon_{yz}^{(s)} \varkappa - \gamma_0 a_s}, \quad (\text{П9})$$

$$R = -\frac{\varepsilon_{zz}^{(s)} \gamma_- + \varepsilon_{yz}^{(s)} \varkappa + \gamma_c a_s / \varepsilon_c}{\varepsilon_{zz}^{(s)} \gamma_+ + \varepsilon_{yz}^{(s)} \varkappa + \gamma_c a_s / \varepsilon_c}, \quad (\text{П10})$$

$$\gamma_0 = (k_0^2 - \varkappa^2)^{1/2}, \quad \gamma_c = (k_0^2 \varepsilon_c - \varkappa^2)^{1/2}, \quad (\text{П11})$$

($0 \leq \arg \gamma_0, \gamma_c < \pi$). Если же точка наблюдения находится вне слоя, то $G(\mathbf{r}, \mathbf{r}')$ представляется в виде интеграла Фурье

$$G(\mathbf{r}, \mathbf{r}') = \frac{a_s}{2\pi i \varepsilon_{zz}^{(s)}} \times \int_{-\infty}^{+\infty} \frac{d\varkappa}{(\gamma_+ - \gamma_-)P} e^{i\varkappa(y-y')} F(\varkappa, z, z'), \quad (\text{П13})$$

где при $z > 0$

$$F(\varkappa, z, z') = (1 + Q) e^{i\gamma_0 z} \times \left[e^{-i\gamma_+(z'+h)} + \text{Re}^{-i\gamma_-(z'+h)} \right], \quad (\text{П14})$$

а при $z < -h$

$$F(\varkappa, z, z') = (1 + R) e^{-i\gamma_c(z+h)} \left[e^{-i\gamma_- z'} + Q e^{-i\gamma_+ z'} \right]. \quad (\text{П15})$$

Напомним, что в этих формулах считается $-h < z' < 0$.

Список литературы

- [1] Monzon J.C. // IEEE Trans. 1987. Vol. AP-35. N 6. P. 670–682.
- [2] Beker B., Umashankar K.R., Taftlove A. // IEEE Trans. 1989. Vol. AP-37. N 12. P.1573–1581.
- [3] Graglia R.D., Uslenghi P.L.E. // IEEE Trans. 1984. Vol. AP-32. N 8. P. 867–869. Ibid. 1987. Vol. AP-35. N 2. P. 225–232.

- [4] Graglia R.D., Uslenghi P.L.E., Zich R.S. // Proc. IEEE. 1989. Vol. 37. N 5. P. 750–760.
- [5] Monzon J.C. // IEEE Trans. 1988. Vol. AP-36. N 10. P. 1401–1406.
- [6] Багацкая О.В., Жук Н.П., Шульга С.Н. // РиЭ. 1995. Т. 40. № 6. С. 869–875.
- [7] Курушин Е.П., Нефедов Е.И. Электродинамика анизотропных структур. М.: Наука, 1980.
- [8] Жук Н.П., Яровой А.Г. // ЖТФ. 1992. Т. 62. Вып. 7. С. 1–11.
- [9] Zhuck N.P., Yarovoy A.G. // IEEE Trans. 1994. Vol. AP-42. N 1. P. 16–21.
- [10] Хижняк Н.А. Интегральные уравнения макроскопической электродинамики. Киев: Наукова думка, 1986.
- [11] Тихонов А.Н., Самарский А.А. Уравнения математической физики. М.: Наука, 1972.
- [12] Su C.C. // IEEE Trans. 1987. Vol. AP-35. N 12. P. 1418–1425.